

بررسی نوسانات سالانه غالب بر گردوغبار و سرعت باد در حوضه آبخیز هیرمند

فاطمه درگاهیان،^{۱*} زهرا سعیدی‌فر،^۲ محمدرضا پودینه^۳

تاریخ پذیرش: ۱۴۰۳/۰۲/۰۴

تاریخ دریافت: ۱۴۰۲/۰۳/۲۵

چکیده

اکو سیستم بیابانی شرق کشور با دو پدیده طبیعی و دائمی باد و گردوغبار مواجه است. شبیه‌سازی چرخه‌های حاکم بر این دو پدیده، برای مدیریت هرچه بهتر آن ضروری است. این منطقه بهدلیل وجود بادهای ۱۲۰ روزه سیستان و شرایط توپوگرافی در بیشتر مواقع با پدیده باد و گردوغبار مواجه است. همنوایی شرایط مورفولوژی زمین و جریانات هوای ناشی از گرادیان فشار و وجود رسوبات ریزدانه منجر به ایجاد طوفان‌های گردوغبار در دوره وزش بادهای ۱۲۰ روزه سیستان شده است. از آنجاکه این بادها در رخداد گردوغبار در منطقه مورد مطالعه بسیار تأثیرگذار است، نوسانات سالانه حاکم بر سرعت باد و گردوغبار از اهمیت فراوانی برخوردار است. در همین راستا در این مطالعه، به بررسی و تحلیل چرخه‌های سالانه حاکم بر گردوغبار و سرعت باد حوضه آبخیز هیرمند پرداخته شده است. برای این منظور، داده‌های مربوط به گردوغبار و سرعت باد در هفت ایستگاه سینوپتیکی در محدوده حوضه آبخیز هیرمند طی دوره ۲۰۱۸ تا ۲۰۰۰ (دوره هجده ساله) از سازمان هواشناسی کشور استخراج شد. بعد از استخراج کدهای گردوغبار و محاسبه سرعت باد در مقیاس سالانه، برای استخراج چرخه‌های حاکم بر سرعت باد و گردوغبار از تحلیل همسازها استفاده شد. در این روش، تک‌تک موج‌ها، استخراج و سهم هریک از آن‌ها در واریانس کل تعیین و درنهایت، پس از استخراج واریانس، تک‌تک موج‌ها از لحاظ معنی‌داری آماری بررسی شد. نتایج حاصل از تحلیل نوسانات گردوغبار و سرعت باد در حوضه آبخیز هیرمند نشان می‌دهد که نوسانات غالب بر این دو پارامتر متنوع است. با وجود این، بیشتر چرخه‌های غالب بر گردوغبار و سرعت باد از نوع کوتاه‌مدت دو تا چهارساله است. در بعضی از ایستگاه‌ها چرخه‌های معادل با طول دوره آماری مشاهده شده است که این نوع چرخه‌ها بیانگر وجود روند در سری داده‌هاست.

کلیدواژه‌ها: باد ۱۲۰ روزه، گرادیان فشار، رسوبات ریزدانه، نوسانات، چرخه غالب.

۱. دانشیار پژوهشی بخش تحقیقات بیابان مؤسسه تحقیقات جنگل‌ها و مراتع کشور، سازمان تحقیقات، آموزش و ترویج کشاورزی، تهران، ایران
dargahian@rifr.ac.ir

۲. دکتری بیابان‌زدایی بخش تحقیقات بیابان مؤسسه تحقیقات جنگل‌ها و مراتع کشور، سازمان تحقیقات، آموزش و ترویج کشاورزی، تهران، ایران

۳. استادیار گروه جغرافیا دانشگاه سیستان و بلوچستان، سیستان و بلوچستان، ایران

• این مقاله برگرفته از طرح مطالعاتی مؤسسه تحقیقات جنگل‌ها و مراتع کشور است.

مقدمه

مناطق و پیدايش بادهاي موسمی در فصول گرم سال می شود (راهي زهی و همكاران، ۲۰۱۹). اين بادها که برادر اختلاف فشار و اختلاف شدید دماي شب و روز مناطق بیاباني و صحراءها به وجود می آيند، می توانند ذرات حاصل از فرسايش بادي خاک را از سطح زمين بلند کنند و به حالت معلق درآورند. تأثير جريان‌های هوایی موجب می‌شود تا این ذرات معلق در هوا به حرکت درآید و طوفان‌های ماسه و گردوغبار در این‌گونه مناطق ایجاد گردد و اثراتی بر روی امنیت، سلامت و محیط‌زیست بگذارد (حمیدیان‌پور و همکاران، ۲۰۱۶؛ شهبازی و همکاران، ۲۰۱۶؛ محرابی و همکاران، ۲۰۱۵). با افزایش دفعات طوفان‌های گردوغبار در ساعت‌های مختلف روز، ذرات بیشتری وارد جو می‌شود و غلظت گردوغبار افزایش می‌یابد (میری و همکاران، ۲۰۲۱). این درحالی است که بیشترین گردوغبار موجود در جو با منشأ ذرات ریزدانه اتفاق می‌افتد و این ذرات ریز در مناطق خشک و نیمه‌خشک جهان از فراوانی بیشتری برخوردار است (دایان و کوچ،^۱ ۱۹۸۶؛ گاریک،^۲ ۲۰۱۰). به طورکلی، طوفان گردوغبار به باد شدیدی گفته می‌شود که ذرات خاک را در هوا با خود حمل می‌کند و آنها را از یک مکان به مکان دیگر منتقل می‌کند (رودوپائولو^۳ و همکاران، ۲۰۱۴؛ مالتسیکا^۴ و همکاران، ۲۰۱۵). برحسب تداوم زمانی این پدیده به دو نوع طوفان گردوخاک کوتاه‌مدت (تا نیم ساعت) و طولانی‌مدت (چند ساعت و حتی چند شبانه‌روز) تقسیم می‌شود (کاپراز و دوگان،^۵ ۲۰۱۷). طوفان‌های گردوغبار با طولانی‌ترین مدت در تیر ۱۳۸۰ و خرداد ۱۳۸۷ (به ترتیب ۱۱۴ ساعت و ۷۸ ساعت) در دشت سیستان رخ داد (میری و همکاران، ۲۰۲۱). قطر ذرات ماسه‌های مذکور رابطه مستقیم با سرعت باد دارد؛ بدین ترتیب بادهاي با سرعت بيشتر توان حمل مواد درشت‌تر را داشته و بادهاي با سرعت كمتر مواد ريزتر را حمل می‌کند (فريدی و همکاران، ۲۰۱۷). در بسياري از مطالعات از شاخص‌ها و روش‌های مختلفی برای ارزیابی طوفان‌های گردوغبار استفاده

اکوسيستم‌هایی بیابانی که تحت حاكمیت دائمی و پایدار یک چند استرس ناشی از عوامل محیطی شکل گرفته و تکامل می‌یابند، درصورتی که تحت تأثير پدیده‌های نوظهور طبیعی یا دخالت انسان تخریب شوند، امکان بازگشت آن‌ها به حالت اولیه غیرممکن است یا به زمان طولانی و فراتر از مقیاس عمر انسان نیاز دارد. برخلاف این موضوع، شکنندگی بیابان‌ها در چارچوب برنامه‌های توسعه کشور نادیده گرفته شده است؛ به‌نحوی که اکثر این اکوسيستم‌ها در معرض تخریب قرار گرفته‌اند (جلیلی، ۲۰۲۰). هرساله در جهان برادر وزش باد و طوفان‌های گردوغبار مخاطراتی اتفاق می‌افتد که خسارتی را به جوامع تحمیل می‌کند؛ اما آنچه محرز است، میزان آسیب‌پذیری در مقابل این مخاطرات در کشورهای کمتر توسعه‌یافته، بیشتر است. در جایی که وابستگی اقتصادی وجود دارد، آثار این حوادث بیشتر نمایان می‌شود (میرموسوی، ۲۰۱۶؛ انصاری و عراقی‌نژاد، ۲۰۱۸). به‌طورکلی، حوادث طبیعی از جمله طوفان‌های گردوغبار جزء جدایی‌ناپذیر حیات انسانی است. پس این واکنش‌های انسان در برابر حوادث است که می‌تواند میزان خسارت این واقعی طبیعی را تحت تأثیر قرار دهد و در این بین، شناخت ابزاری است که اثرگذاری مخاطرات را بر زندگی انسان کاهش می‌دهد (طاعی سمیرمی و همکاران، ۲۰۱۳). یکی از این مخاطرات پدیده گردوغبار است که تأثیر زیادی بر بوم‌شناسی، محیط‌زیست منطقه، سلامت انسان، امنیت و همچنین آب‌وهواي جهانی دارد (ژانگ^۶ و همکاران، ۲۰۲۰). بررسی‌های صورت گرفته بر روی روند گردوغبار در ایران در سال‌های اخیر نشان می‌دهد که در کنار عوامل طبیعی به وجود آورنده توده گردوغبار، عوامل غیرطبیعی مانند فعالیت‌های انسانی نیز در بروز این پدیده مخاطره‌آمیز و پایداری و تداوم طولانی آن دخیل است (میری و همکاران، ۲۰۱۹؛ خدام و همکاران، ۲۰۱۵). وجود مناطقی با پوشش گیاهی تنک و بارندگی کم، از مشخصه‌های اصلی سرزمین‌های واقع در عرض‌های پایین جغرافیایی است که موجب ایجاد شرایط آب‌وهواي بسیار گرم و خشک در این

2. Dayan & Koch

3. Gabric

4. Rodopoulou

5. Maletsika

6. Çapraz & Doğan

1. Zhang

سری زمانی براساس ضرایب خودهمبستگی را تحلیل در رویکرد زمان می‌گویند. در این رویکرد از توابع خودهمپراش، خودهمبستگی و خودهمبستگی جزئی برای مطالعه تغییر تدریجی یک سری زمانی، با توجه به الگوهای پارامتری استفاده می‌شود. در این روش سعی می‌شود همه همبستگی موجود در مشاهدات به مدل درآید؛ به طوری که باقی مانده‌های حاصل از برآش مدل ناهمبسته باشد. در این صورت با گذشت زمان روند و نوع رفتار سری آشکار و مشخص می‌شود. تحلیل در رویکرد فرکانس، روش دیگری است که نوسانات سری زمانی را بر حسب رفتار سینوسی در فرکانس‌های مختلف بیان نموده، فراوانی و قوع داده‌ها را مدنظر قرار داده و موج‌ها و طول موج‌های مختلف در روند سری زمانی مورد بررسی قرار می‌گیرد. در این روش، از روش تحلیل طیفی برای تجزیه و تحلیل سری زمانی استفاده می‌شود (علیجانی و همکاران، ۲۰۱۵؛ عساکره و همکاران، ۲۰۱۵؛ سبزی‌پرور و همکاران، ۲۰۱۹). در این مطالعه با استفاده از روش تحلیل طیفی، نوسانات و چرخه‌های حاکم بر گردوغبار و سرعت باد حوضه آبخیز هیرمند شناسایی شده است.

مواد و روش‌ها

در این مطالعه، به بررسی و تحلیل چرخه‌های حاکم بر گردوغبار و سرعت باد حوضه آبخیز هیرمند پرداخته شد. برای این منظور، داده‌های سرعت باد و گردوغبار هفت ایستگاه سینوپتیکی (زابل، زهک‌هامون، نصرت‌آباد، زاهدان، درمیان، نهبندان و بیرجند) در محدوده حوضه آبخیز هیرمند طی دوره ۲۰۰۰ تا ۲۰۱۸ (دوره ۱۸ ساله) از سازمان هواشناسی کشور استخراج شده است (شکل ۱). بعد از استخراج و کنترل کیفی داده‌ها برای استخراج گردوغبار از کد پدیده‌های مربوط به گردوغبار استفاده شد (جدول ۱).

شده است. به منظور بررسی تغییرات فراوانی طوفان‌های گردوغبار و غبارناکی از شاخص‌های متعددی استفاده می‌شود: شاخص^۱ DDI (روزهایی که سرعت باد بیشتر از ۱۵ متر بر ثانیه و دید افقی کمتر از ۱۰۰۰ متر است) (میری، ۲۰۲۰)؛ شاخص^۲ DSI (شاخص غبارناکی) (ابراهیمی و درگاهیان، ۲۰۲۲)؛ شاخص DSİ (شاخص غبارناکی) (شیری و همکاران، ۲۰۲۱)؛ شاخص^۳ AOD (رضوی‌زاده و همکاران، ۲۰۲۱) و مدل‌های شیوه‌سازی مانند مدل جفت‌شده پیش‌بینی عددی وضع هوا (کارگر و همکاران، ۲۰۱۷).

پدیده گردوغبار به عنوان رویدادی اقلیمی در همه شرایط آب و هوایی رخ می‌دهد؛ اما به عنوان پدیده بارز مناطق خشک و نیمه‌خشک، سبب اخلال در فعالیت‌ها و زیرساخت‌های جوامع انسانی مانند کشاورزی، حمل و نقل و صنایع می‌گردد. در بعضی از مناطق جهان، بهویژه خاورمیانه، طوفان گردوغبار از پدیده‌هایی است که فراوانی رخداد بالای دارد. در دهه گذشته، رخداد طوفان‌های گردوغبار پی‌درپی در این منطقه رو به فزونی نهاده تا آنجا که در ماه‌های سرد و پربارش این منطقه نیز مشاهده می‌شود. مطالعه‌های صورت گرفته روی طوفان‌های گردوغبار در ایران نشان می‌دهد که در کنار عوامل طبیعی به وجود آورندۀ توده گردوغبار علاوه بر عوامل محیطی، عوامل انسانی بسیاری نیز در بروز این پدیده، پایداری و تداوم طولانی مدت آن دخالت دارد (قادری و همکاران، ۲۰۱۸).

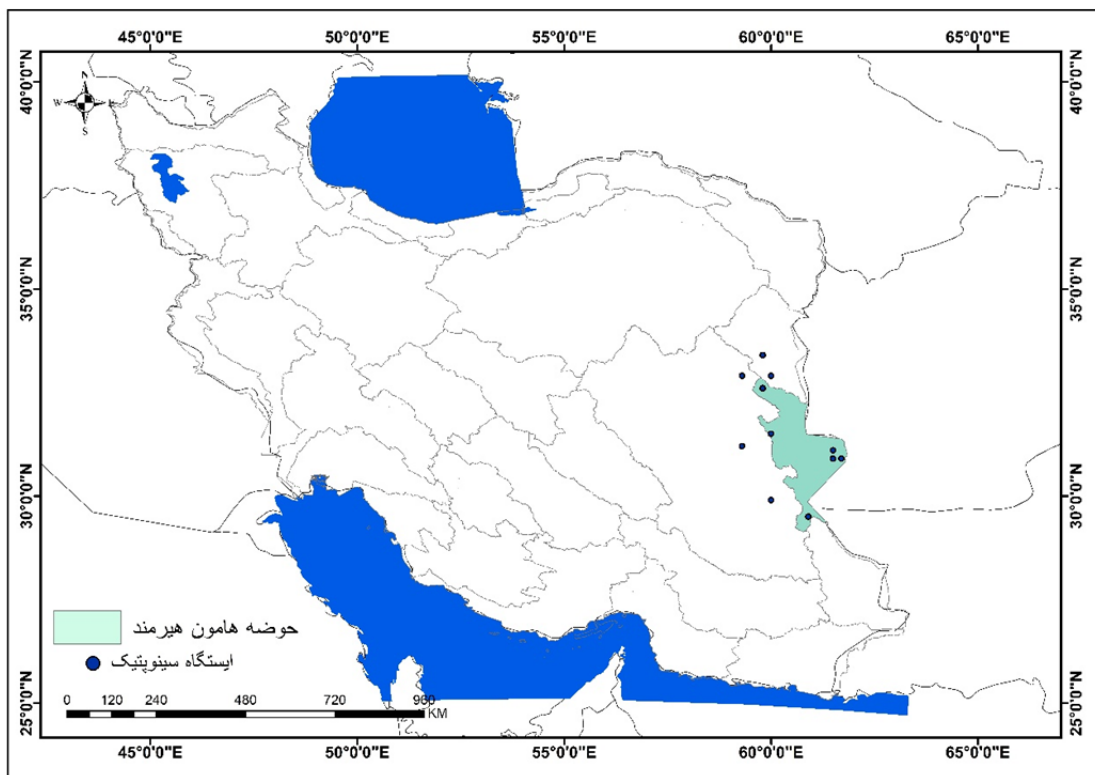
یکی از روش‌های مناسب برای بررسی نوسانات غالب بر گردوغبار و سرعت باد، استفاده از روش تحلیل طیفی است. در تحلیل سری‌های زمانی یک سری زمانی را می‌توان در دو رویکرد مورد مطالعه و بررسی قرار داد: یکی رویکرد زمانی و دیگری رویکرد فرکانسی تحلیل سری‌های زمانی (ویلکز، ۲۰۰۶). همه روش‌های توصیف، تحلیل و پیش‌بینی روند مشاهدات و نیز روش‌های ترسیمی وابسته، در زمرة رویکردهای زمانی تحلیل سری‌های زمانی است. در این صورت تحلیل

1. Dusty Days Index

2. Dust Storm Index

3. Aerosol Optical Depth

4. Wilks



شکل (۱): منطقه مورد مطالعه و ایستگاه‌های سینوپتیک مورد استفاده

Figure (1): The studied area and the used synoptic stations

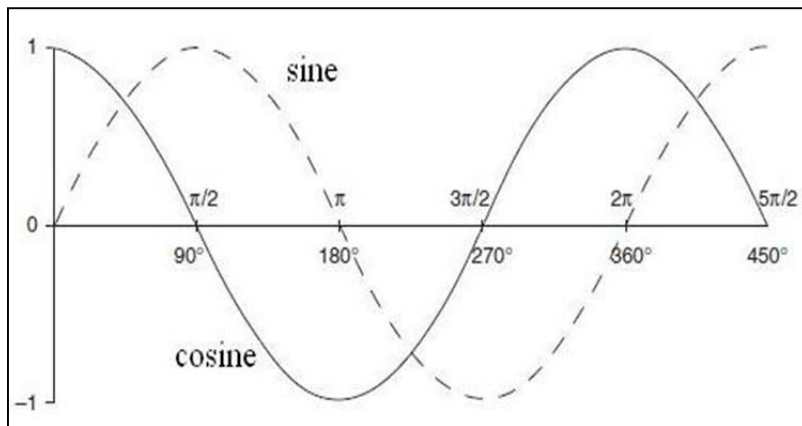
جدول (۱): کد های گردوبغارهای مورد مطالعه

Table (1): Codes of studied dusts

کد	وضعیت
۰۶	کاهش دید براثر انتشار گردوبغار معلق در هوا که بهوسیله باد بلند شده است.
۰۷	گردوبغار یا شن که در زمان دیده‌بانی در اطراف ایستگاه بهوسیله باد بلند شده است.
۰۸	گسترش گردبادهای گردوبغار و ماسه در ایستگاه یا اطراف آن در زمان دیده‌بانی یا ساعت پیش‌بینی
۰۹	طوفان گردوبغار و ماسه در اطراف ایستگاه در زمان دیده‌بانی و یا ساعت پیش‌بینی
۳۰	طوفان گردوبغار که در طول ساعت قبل کاهش یافته است.
۳۱	طوفان گردوبغار که در طول ساعت قبل تغییر قابل ملاحظه‌ای پیدا نکرده است.
۳۲	طوفان گردوبغار که در طول ساعت قبل شروع شده یا افزایش پیدا کرده است.
۳۴	طوفان گردوبغار که در طول ساعات گذشته تغییر قابل ملاحظه‌ای پیدا نکرده است.
۳۵	طوفان گردوبغار که در طول ساعات گذشته شروع شده و یا افزایش یافته است.

بعد از آماده‌سازی داده‌های سالانه سرعت باد و گردوبغار و درنهایت، پس از استخراج واریانس، تک‌تک موج‌ها از لحاظ معناداری آماری بررسی شد. شکل (۲) نسبت‌های توابع مثلثاتی سینوسی و کسینوسی را در بازه زاویه‌ای 0° تا 45° درجه (رادیان $\frac{5\pi}{2} - 0$) نشان می‌دهد.

برای تحلیل چرخه‌ها از تحلیل طیفی بهره گرفته شده است. اندازه‌ای از توزیع واریانس در امتداد تمامی طول موج‌های سری زمانی را تحلیل طیفی گویند. در این روش، تک‌تک موج‌ها، استخراج و سهم هریک از آن‌ها در واریانس کل تعیین



شکل (۲): نسبت‌های توابع مثلثاتی سینوسی و کسینوسی در بازه ۰ تا ۴۵۰ درجه (وایلکس، ۲۰۰۶)

Figure (2): ratios of sine and cosine trigonometric functions in the range of 0 to 450 degrees (Wilex, 2006)

به صورت زیر است:

$$y_t = \bar{y} + C_k \cos\left(\frac{2\pi}{n}t\right) \quad (3)$$

درنهایت برای رفع مشکل سوم و هماهنگ کردن فراز و فرود توابع مثلثاتی با داده‌های زمانی و برای جبران اختلاف فاز، از پارامتر استفاده می‌شود که به آن پارامتر تغییر فاز نیز می‌گویند. درنتیجه:

$$y_t = \bar{y} + C_k \cos\left(\frac{2\pi}{n}t - \phi\right) \quad (4)$$

در رابطه فوق که معادله کلی تبدیل داده‌های زمانی به داده‌های فرکانسی (تابع مثلثاتی) است، پارامترهای C_k و ϕ به صورت زیر به دست می‌آیند:

$$C_k = \sqrt{A_k^2 + B_k^2}$$

$$A_k = \frac{2}{n} \sum_{t=1}^n y_t \cos\left(\frac{2k\pi t}{n}\right)$$

$$B_k = \frac{2}{n} \sum_{t=1}^n y_t \sin\left(\frac{2k\pi t}{n}\right) \quad (5)$$

در روابط فوق، k همان تعداد (شماره) موج‌هاست؛ چون هر موج یک فراز و یک فرود دارد، پس به تعداد نصف طول سری (n)، موج (k) وجود خواهد داشت؛ یعنی $\frac{n}{2}$. حال اگر طول سری زمانی فرد باشد، تعداد موج‌ها بدین صورت خواهد بود: $\frac{(n-1)}{2}$. پس از محاسبه همسازها، میزان واریانسی که توسط هر موج توجیه می‌شود، از رابطه زیر به دست می‌آید:

$$R_k^2 = \frac{n}{2} C_k^2 \quad (6)$$

با این حال برای استخراج چرخه‌ها باید سری‌های زمانی به سری مثلثاتی (فرکانسی) تبدیل شود. برای حصول به این امر باید سه نکته مورد توجه قرار گیرد: ۱. تابع مثلثاتی از جنس زاویه‌اند، درحالی که سری‌های زمانی توابعی از زمان هستند؛ ۲. تابع مثلثاتی سینوسی و کسینوسی ما بین +1 و -1 نوسان می‌کنند، درصورتی که داده‌های زمانی در دامنه‌های متفاوتی نوسان دارند؛ ۳. تابع کسینوسی برای زوایای صفر و ۳۶۰ درجه بیشترین مقدار خود را دارد (۱+) درحالی که داده‌های زمانی در زمان‌های مختلف مقادیر بیشینه دارند (وایلکس، ۲۰۰۶). برای رفع مشکل اول بایستی مقیاس داده‌های زمانی به مقیاس مثلثاتی تبدیل شود. با توجه به اینکه چرخه کامل زوایای ۳۶۰ درجه (۲π رادیان) است، برای نیل به این هدف می‌توان به طرق زیر عمل کرد:

$$\alpha = \left(\frac{360^\circ}{cycle} \right) \left(\frac{t}{n/cycle} \right) = \frac{t}{n} 360^\circ \quad (1)$$

$$\alpha = \left(\frac{2\pi}{cycle} \right) \left(\frac{t}{n/cycle} \right) = 2\pi \frac{t}{n} \quad (2)$$

که t و n متعلق به مقیاس داده‌های زمانی است و به ترتیب زمان و تعداد داده‌های است. برای رفع مشکل دوم، با توجه به اینکه وقتی متغیری مثل بارش را به صورت تابع مثلثاتی در می‌آوریم مقادیر حاصله بین +1 و -1 خواهد شد؛ درحالی که داده‌های دما مقادیر مختلف و متنوعی دارد. بدین منظور برای تبدیل داده‌های خام به تابع مثلثاتی از یک ضریب ثابت (C) استفاده می‌کنند که به آن دامنه نیز گفته می‌شود. ترکیب دو راه حل فوق برای مشکلات ذکر شده در بالا برای یک سری داده

و باد پس زمینه و همچنین واریانس چرخه گردوغبار و باد از نرم افزار سورفر استفاده شد.

نتایج

در جدول (۲) نوسانات (چرخه)، احتمال و واریانس گردوغبار برای ایستگاه‌های حوضه آبخیز هیرمند آورده شده است. در این جدول برای هر ایستگاه در ستون اول چرخه، ستون دوم احتمال رخداد آن چرخه و ستون سوم واریانس هر چرخه نشان داده شده است. در این جدول بالا بودن واریانس بیانگر مهم بودن نوسان غالب این چرخه است. همان‌طور که مشاهده می‌شود، در ایستگاه بیرجند سری زمانی گردوغبار دارای دو چرخه کوتاه‌مدت شش و دو ساله است که احتمال رخداد این چرخه‌ها به ترتیب $0/2$ و $0/5$ است. با توجه به اینکه واریانس چرخه دو ساله بیشتر است، چرخه دو ساله در سری زمانی گردوغبار ایستگاه بیرجند از اهمیت بالایی برخوردار است.

که R_k^2 همان قدرت کترل موج k است. برای تشخیص معناداری یا عدم معناداری واریانس یک موج خاص و یا معناداری یک موج، از آزمون خی دو (χ^2) استفاده شد. آماره χ^2_0 مشاهده‌ای (محاسبه‌ای) از رابطه زیر حاصل می‌شود:

$$\chi^2_0 = \frac{R_k^2}{R_{k(E)}^2} \quad (7)$$

که $R_{k(E)}^2$ قدر مطلق مورد انتظار است که بدین صورت به دست می‌آید:

$$R_{k(E)}^2 = \frac{\sum_{k=1}^m R_k^2}{m} \quad (8)$$

در اینجا m تعداد موج‌ها و k شماره موج است. آماره χ^2_c جدول، در سطح اطمینان مشخص و با درجه آزادی $df = \frac{2n}{m} - 0.5$ به دست می‌آید و واریانس هر موج است. اگر آماره χ^2_0 محاسبه‌شده برای هر موج، بزرگ‌تر از آماره χ^2_c باشد، آن موج (چرخه) معنادار است. به منظور ترسیم نقشه‌های مربوط به چرخه و احتمال رخداد چرخه گردوغبار

جدول (۲): چرخه‌های غالب گردوغبار برای ایستگاه حوضه آبخیز هیرمند

Table (2): Dominant cycles of dust for Hirmand watershed station

بیرجند			نهیندان			زابل		
چرخه	احتمال	واریانس	چرخه	احتمال	واریانس	چرخه	احتمال	واریانس
۶	۰/۲	۲۲۰/۸	۲	۰/۵	۵۲۹	۶	۰/۲	۶۹۵/۸
۲	۰/۵	۲۴۵/۴						
زهک			نصرت‌آباد			میرجاوه		
چرخه	احتمال	واریانس	چرخه	احتمال	واریانس	چرخه	احتمال	واریانس
۶	۰/۲	۱۷۳۳/۴	۱۸	۰/۱	۱۳۳۶۵/۱	۳	۰/۳	۳۵۲/۸
۲/۳	۰/۴	۹۵۵/۸				۲/۵۷۱۴	۰/۴	۳۱۰/۵
زاهدان								
چرخه			چرخه			چرخه		
۴/۵			۴.۵			۴.۵		

نوسان یا چرخه شش ساله با توجه به واریانس $۱۷۳۳/۴$ از اهمیت بیشتری برخوردار است. در سری زمانی گردوغبار در ایستگاه نصرت‌آباد یک چرخه هجدو ساله مشاهده شده است. این چرخه معادل با طول دوره آماری است. به عقیده دانشمندان چرخه‌های معادل طول دوره روند بیانگر وجود روند در سری زمانی داده‌هاست (عساکره و همکاران، ۲۰۱۴؛ علیجانی و همکاران، ۲۰۱۵؛ دوستکامیان و درگاهیان، ۲۰۱۹). در ایستگاه

در ایستگاه نهیندان فقط یک چرخه غالب دو ساله با احتمال رخداد $۰/۵$ مشاهده شده است. واریانس چرخه دو ساله در این ایستگاه ۵۲۹ است که نسبت به همین چرخه در ایستگاه بیرجند از واریانس بیشتری برخوردار بوده است. این امر به مهم بودن این چرخه در سری زمانی گردوغبار نهیندان اشاره دارد. گردوغبار در ایستگاه زابل و زهک (نیمه شرقی حوضه آبخیز هیرمند) دارای نوسانات شش و دو ساله است. در ایستگاه زهک

اشاره دارد. در ایستگاه نهیندان سه نوسان ۱۸، ۴/۵ و ۴/۶ ساله حاکم است. چرخه هجده ساله از آنجاکه معادل طول دوره آماری است، بیانگر وجود روند در سری زمانی سرعت باد در این ایستگاه است (دوسنکامیان و میرموسوی، ۲۰۱۵). بنابراین در مجموع می‌توان گفت نوسانات غالب بر سرعت باد در ایستگاه‌های حوضه آبخیز هیرمند بین دو تا پنج ساله است. آزاد و همکاران (۲۰۰۹) چرخه‌های سه تا پنج ساله را در موسمی هند ناشی از تأثیر پدیده انسو دانسته‌اند. سلام و جوشی^۱ (۱۹۹۵) چرخه‌های دو تا هفت ساله و چرخه‌های دو تا سه ساله را در دمای سطح زمین کشف کردند. ایشان به ترتیب این چرخه‌ها را به انسو و تغییرات دوسالانه نسبت دادند.

زاهدان یعنی جنوب شرق حوضه هیرمند یک نوسان چهار ساله با احتمال رخداد ۰/۲ و واریانس ۳۴۵۲/۴ مشاهده شده است. جدول (۳) چرخه‌های سرعت باد برای ایستگاه حوضه آبخیز هیرمند را نشان می‌دهد. بررسی وضعیت نوسانات سرعت باد در ایستگاه‌های حوضه آبخیز هیرمند نشان می‌دهد که همانند گردوغبار بیشتر نوسانات کوتاه‌مدت بر سرعت باد حاکم است؛ با وجود این، چرخه‌های متنوع شش و یازده ساله در بعضی از ایستگاه‌ها مشاهده شده است. برای مثال در ایستگاه زهک چرخه یازده ساله غالب بوده است؛ از این‌رو می‌توان گفت نوسانات حاکم بر سرعت باد و گردوغبار مشابه است که این امر می‌تواند به ارتباط این دو پهنهٔ جنوب شرق کشور

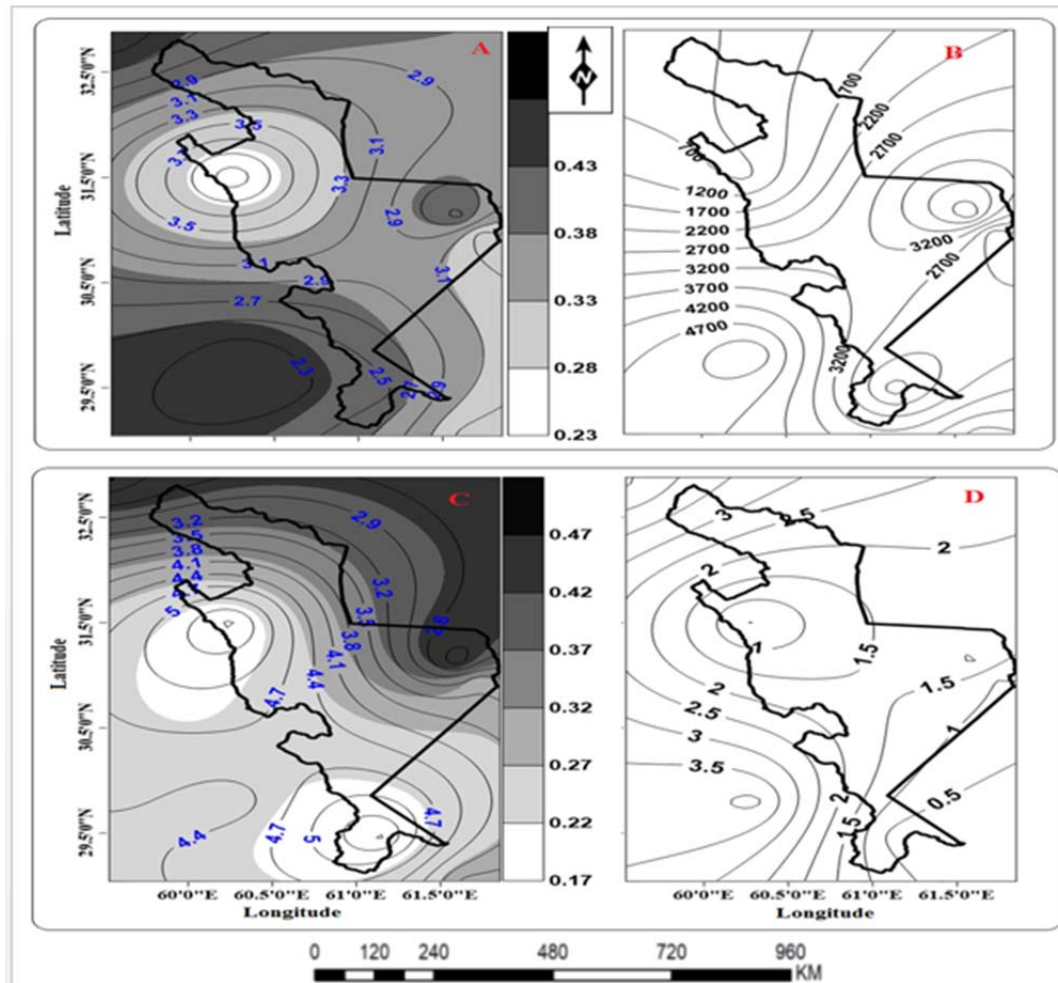
جدول (۳): چرخه‌های سرعت باد برای ایستگاه حوضه آبخیز هیرمند

Table (3): Wind speed cycles for Hirmand watershed station

بیرجند			نهیندان			زابل		
چرخه	احتمال	واریانس	چرخه	احتمال	واریانس	چرخه	احتمال	واریانس
۱۸	۰/۰۶	۱۵.۸۵	۱۸	۰/۰۶	۲/۱۸	۱۸	۰/۰۶	۶/۲۰
۲	۰/۵	۳/۲۷	۴/۵	۰/۲۲	۰/۴۶	۶	۰/۱۷	۱/۷۸
			۳/۶	۰/۲۸	۰/۳۵	۳/۶	۰/۲۸	۰/۷۹
زهک			نصرت‌آباد			میرجاوه		
چرخه	احتمال	واریانس	چرخه	احتمال	واریانس	چرخه	احتمال	واریانس
۱۱	۰/۰۹	۳/۵۷	۱۱	۰/۰۹	۲/۵۴	۶	۰/۱۷	۰/۲۱
۳	۰/۳۳	۲/۳۸	۳/۶	۰/۲۸	۲/۶۶	۴/۵	۰/۲۲	۰/۱۶
			۳	۰/۳۳	۲/۳۸	۲/۵۷	۰/۳۹	۰/۰۷
زاهدان								
چرخه			چرخه			چرخه		
۱۸			۱۸			۱۸		
۴/۵			۴/۵			۴/۵		
۲/۶			۲/۶			۲/۶		

گردوغبار بسیار بیشتر از واریانس نوسانات حاکم بر سرعت باد است. برای مثال واریانس چرخه‌ها در بخش‌های شرق حوضه برای گردوغبار بین ۲۵۰۰ تا ۳۲۰۰ در نوسان است؛ این در حالی است که این وضعیت برای سرعت باد بین ۱ تا ۳ در نوسان است (شکل D-B-۳).

در ادامه، چرخه‌های غالب بر سرعت باد و گردوغبار حوضه آبخیز هیرمند در شکل (۳) آورده شده است. همان‌طور که مشاهده می‌شود، نوسانات حاکم بر این دو پارامتر گردوغبار و باد بر حوضه آبخیز هیرمند بین دو تا چهار ساله است. براساس شکل (B-۳) واریانس چرخه‌های



شکل (۳): چرخه و احتمال رخداد چرخه گردوغبار پس زمینه (A); واریانس چرخه گردوغبار (B); چرخه و احتمال رخداد چرخه سرعت باد پس زمینه (C); واریانس چرخه سرعت باد (D)

Figure 2: Cycle and probability of occurrence of background dust cycle (A); Variance of dust cycle (B); Cycle and probability of occurrence of background wind speed cycle (C); Variance of wind speed cycle (D)

می گردد (علیجانی و رئیسپور، ۲۰۱۱).

استفاده از روش تحلیل طیفی و استخراج چرخه های حاکم بیشتر در مطالعات مربوط به بارش انجام شده است؛ به طوری که بررسی روند و رفتار بارشی شهر شاهروд با استفاده از مدل های آماری و تحلیل طیفی وجود دو چرخه با ضریب اطمینان ۹۵٪ در فرکانس های 0.03° و 0.17° با دوره بازگشت تقریبی پانزده و سه ساله برای میانگین بارش سالانه شصت ساله نشان داد (عساکر و یوسفی زاده، ۲۰۱۵). تحلیل روند و چرخه های سری زمانی بارش سالانه حوضه های آبریز حل و مند با استفاده از روش تحلیل طیفی نشان داد چرخه های دو تا سه ساله، سه تا ده ساله و گاه چرخه های با دوره بازگشت ده ساله و بالاتر بر

نتیجه گیری

حدود ۹۰ میلیون هکتار یعنی معادل ۵۵ درصد سرزمین ایران تحت سلطه اکو سیستم بیابانی است. حوضه سیستان به عنوان یکی از فعال ترین منابع گردوغبار و بادخیز ترین محیط های بیابانی در جهان شناخته شده است. اگرچه فعالیت گردوغبار در سیستان در طول تابستان به حداقل می رسد، طوفان های گردوغبار نادر شدید ممکن است در زمستان نیز رخ دهد (دومکا^۱ و همکاران، ۲۰۱۹). تحلیل آماری و همدیدی طوفان های گردوغباری منطقه سیستان طی دوره ۱۹۷۹–۲۰۰۸ نشان داد که شیو فشار و دمای شدید بین مرکز کم فشار موسمنی هند و پرفشار دریای خزر، منجر به ایجاد طوفان های شدید

1. Dumka

برخی فرکانس‌ها از نمونه‌های واقعی به دست نمی‌آیند؛ بلکه به وسیله میانیابی مقادیر حاصل می‌شود. از این‌رو بر روی قدرت تفکیک طیف اثر می‌گذارد. این خطاها به‌ویژه در طول موج‌های ۵ تا ۲۵ ساله مشهود است (عساکر، ۲۰۰۹). در بعضی از ایستگاه‌ها از جمله زهک و نصرت‌آباد چرخه‌های یازده‌ساله مشاهده شده است. وجود چرخه‌های ۱۱ سال و بالاتر (تغییرات درون‌دهه‌ای) در پهنه‌های کم‌وسعتی واقع در جنوب شرقی منطقه تأییدی بر یافته‌های جهان‌بخشی و عدالت‌دوست (۲۰۰۸) مبنی بر تأثیر چرخه فعالیت لکه‌های خورشیدی است. همچنین براساس یافته‌های ایشان، نوسانات اطلس شمالی نیز از یک دوره تناوب یازده تا دوازده‌ساله در منطقه برخوردار است که مشابه چرخه‌های یازده‌ساله لکه‌های خورشیدی است.

نوسانات حاکم بر این دو پارامتر بر حوضه آبخیز هیرمند بین دو تا چهار سال است؛ چه بسا شباهتی در چرخه‌های غالب سرعت باد و گردوغبار مشاهده می‌شود که این امر گویای این مطلب است که چرخه‌های غالب این قسمت از کشور تحت تأثیر سامانه کلان‌مقیاس جوی اقیانوسی یکسان است. شناخت این چرخه‌های حاکم بر دو پدیده اصلی اکوسیستم بیابانی حوضه هیرمند می‌تواند مدیران و برنامه‌ریزان را در جهت مناسب‌ترین راهبردهای مدیریتی کمک و از صرف هزینه‌های هنگفت جلوگیری کند.

بارش حوضه حاکم است (بالانی^۱ و همکاران، ۲۰۱۵). تحلیل تغییرات بارش حوضه آبریز هراز با استفاده از روش‌های آماری و روش تحلیل طیفی، حاکمی از وجود چرخه‌های سینوسی معنادار ۳–۲، ۵–۳ و ۱۱ سال به بالا در منطقه مورد مطالعه است که وجود این چرخه‌ها را می‌توان به تأثیر عوامل کلان‌مقیاس جوی- اقیانوسی نسبت داد (داداشی رودباری و همکاران، ۲۰۱۶). از این روش تاکنون در مورد مطالعه گردوغبار و باد استفاده نشده است. بررسی تحلیل چرخه‌های گردوغبار نشان داد که عمدۀ نوسانات حاکم بر گردوغبارهای حوضه آبخیز هیرمند کوتاه‌مدت دو تا چهارساله است. در بعضی از ایستگاه‌ها چرخه‌های معادل با طول دورۀ آماری مشاهده شده است که محققان این گونه نوسانات را به روند نسبت داده‌اند (جعفری و دوستکامیان، ۲۰۱۶). بنابراین این نوع چرخه‌ها بیان‌گر وجود روند در سری داده‌است.

در این بین، در بعضی از ایستگاه‌ها از جمله زهک، بیرجند و زابل، نوسانات دو و شش‌ساله مشاهده شده است. بعضی از محققان، نوسانات دو تا شش‌ساله را با نوسانات الینیو مرتبط می‌دانند (کلایکی^۲ و همکاران، ۲۰۰۴). با وجود این، نوسانات غالب بر گردوغبار در اکثر ایستگاه‌ها در حوضه آبخیز هیرمند بین دو تا چهار سال بوده است که این نتایج با یافته‌های آزاد و همکاران (۲۰۰۹) در موسمی هند که با آشکار ساختن چرخه‌های سه تا پنج‌ساله، این چرخه‌ها را به پدیده انسو نسبت دادند، مطابقت دارد. با توجه به اینکه بارش‌های این بخش از کشور اغلب تابستانی و موسمی هستند، این چرخه‌های معنادار را نیز می‌توان به رخداد پدیده جوی اقیانوسی انسو نسبت داد (هارتمن^۳ و همکاران، ۲۰۰۸).

وضعیت چرخه‌های حاکم بر سرعت باد نشان داد که همانند گردوغبار در اکثر ایستگاه‌ها نوسانات کوتاه‌مدت دو تا چهارساله حاکم بوده است. با وجود این، در حوضه آبخیز هیرمند سرعت باد در بعضی از ایستگاه‌ها چرخه‌های پنج تا یازده‌ساله مشاهده شد. در مورد این چرخه‌ها نیز دانشمندان بسیاری معتقد‌اند که بهدلیل گیسته بودن مقادیر در دوره‌نگار،

1. Balyani

2. Kalayci

3. Hartmann

منابع

1. Alijani, B., Bayat, A., Doostkamian, M., & Balyani, Y. (2016). Spectral Analysis of Time Series for Annual Precipitations in Iran. *Journal of Geography and Planning*, 20(57), 217-236.
2. Alijani, D., Doostkamian, M., Ashrafi, S., & Shakeri, F. (2015). Review the Changes of Spatial Autocorrelation Patterns Within a Decade of Precipitation Over the Last Half-Century in Iran. *Journal of Geography and Territorial Spatial Arrangement*, 5(14), 71-88.
3. Alijani, B., & Raeispoor, K. (2011). Statistical, Synoptical Analysis of Sand Storms in SE IRAN. (Study Case: Region of SISTAN). *Arid Regions Geographic Studies*, 2(5), 107-130.
4. Ansari Ghojgar, M., Araghinejad, S.H. (2018). Investigation of the frequency of dust in the west and southwest of the country, *the 2nd National Conference on Climatology of Iran*, May 9th, Ferdowsi University of Mashhad: 886-892.
5. Asakereh, H., Doostkamian, M., & Sadrafsary, S. (2015). Anomalies and cycles of perceptible water over Iran in recent decades. *Arabian Journal of Geosciences*, 8(11), 9569-9576.
6. Asakereh, H., Doostkamian, M., & Qaemi, H. (2014). Analysis of anomalies and perceptible water cycles in Iran atmosphere. *Journal of Physical Geography Research Quarterly*, 46(4), 435-444.
7. Asakereh, H. (2009). Spectral analysis of time series of annual temperature of Tabriz. *Journal of Geographical Research*, 93, 33-50.
8. Asakareh, H., & Yousefizadeh, R. (2015). Evaluating the trend and behavior rain the Shahrood city using the model statistically and spectral analysis. *Geography (Regional Planning)*, 5(3), 51-66.
9. Azad, S., Vigneshb T.S., & Narasimha, R. (2009). Periodicities in Indian Monsoon Rainfall over Spectrally Homogeneous Regions. *International Journal of Climatology*, DOI: 10.1002/joc.2045.
10. Balyani, Y., Saligheh, M., Asakereh, H., & Nasserzadeh, M.H. (2015). Cycle analysis of time series of annual precipitation Helehand Mond watershed. *Jgs*, 15(37), 245-272
11. Çapraz, Ö., Deniz, A., & Doğan, N. (2017). Effects of air pollution on respiratory hospital admissions in İstanbul, Turkey, 2013 to 2015. *Chemosphere*, 181, 544-550.
12. Dayan, U., & Koch, J. (1986). A Synoptic analysis of the meteorological conditions affecting dispersion of pollutants emitted from tall stacks in the coastal plain of Israel: 537-543.
13. Dadashi Roudbari, A., Fallah Ghalheri, G., Karami, M., & Baaghide, M. (2016). Analysis of Precipitation Variations of Haraz Watershed Using by Statistical Methods and Spectrum Analysis Technique. *Hydrogeomorphology*, 3(7), 59-86.
14. Doostkamian, M., & dargahian, F. (2019). The analysis of the continuity and frequency of fluctuations and jumps of the cold waves (Case Study: Northwest of Iran), *Geographic Space*, 19(6): 147-159
15. Doostkamian, M., & Mirmousavi, S. (2015). The Study and Analysis the Clusters of Heavy Rainfall Threshold in Iran. *Geography and Development Iranian Journal*, 13(41), 131-146.
16. Dargahian, F., & Razavizadeh, S. (2021). Spatial distribution of frequency and intensity of dust phenomenon based on horizontal field of view in Khuzestan province. *Iranian Journal of Nature*, 6(2): [In Persian]
17. Ebrahimikhusfi, Z., & Dargahian, F. (2022). Investigation of the Climatic parameters Effect on the Concentration Change of Particles Matter less than $10 \text{ } \mu\text{m}$ and its Relation to Wind Erosion Occurrence in Arid Regions. *Journal of Arid Regions Geographic Studies*, 9(34), 76-92.
18. Faridi, S., Naddafi, K., Kashani, H., Nabizadeh, R., Alimohammadi, M., Momeniha, F., et al. (2017). Bioaerosol exposure and circulating biomarkers in a panel of elderly subjects and healthy young adults. *Science of the Total Environment*, 593: 380-389.
19. Dumka, U.C., Kaskaoutis, D.G., Francis, D., Chaboureau, J.P., Rashki, A., Tiwari, S., & Mihalopoulos, N. (2019). The role of the Intertropical discontinuity region and the heat low in dust emission and transport over the Thar Desert, India: A Premonsoon case study. *Journal of Geophysical Research: Atmospheres*, 124(23), 13197-13219.
20. Faridi S, Naddafi K, Kashani H, Nabizadeh R, Alimohammadi M, Momeniha F, et al. (2017). Bioaerosol exposure and circulating biomarkers in a panel of elderly subjects and healthy young adults. *Science of the Total Environment*, 593:380-389.
21. Gabric, A. J., Cropp, R. A., McTainsh, G. H., Johnston, B. M., Butler, H., Tilbrook, B., & Keywood, M. (2010). Australian dust storms in 2002–2003 and their impact on Southern Ocean biogeochemistry. *Global Biogeochemical Cycles*, 24(2).
22. Ghaderi, F., Karami, M., Shekari, P., & Jafari, A. (2018). Atmospheric dust deposition trend and its relation with selected climatic and spatial factors in Javanrood Township. *Journal of Water and Soil Conservation*, 24(6): 123-140.
23. Hamidian Pour, M., Mofidi, A., Saligheh, M. and Alijani, B., (2016). The role of topography on the simulation of Sistan wind structure in the east of Iranian Plateau. *Researches in Geographical Sciences*, 16(43): 25-53.
24. Hartmann, H., Becker, S. & King, L. (2008). Quasi-Periodicities in Chinese Precipitation Time Series. *Theor. Appl. Journal of Climatology*, 92: 155–163.
25. Jafari, D., & Doostkamian, M. (2016). The Study & Analysis of Oscillation Changes of Discharge &

- Precipitation in Mund Basin. *Journal of Geography and Territorial Spatial Arrangement*, 6(20), 129-140.
26. Jalili, A. (2020). Do's and don'ts in desert ecosystems and selecting the proper management strategy. *Iran Nature*, 5(2), 3-3
27. Jahanbakhsh, S., & Edalatdoust, M. (2008). Climate change in Iran (Case study: North Atlantic Fluctuation Index as an indicator of the effects of solar activity on precipitation changes in Azerbaijan), *3rd Iran Water Resources Management Conference*, Tabriz, University of Tabriz, 14 October.
28. Kalayci Serdar, M., Cagatay, K., & Kahya, E. (2004). Analysis of El Nino Signals on Turkish Streamflow and Precipitation Patterns Using Spectral Analysis. *Fresenius Environmental Bulletin*, 13(8).
29. Karegar, M.E., Bodagh Jamali, J., Ranjbar Saadat Abadi, A., Moeenoddini, M., & Goshtasb, H. (2017). Simulation and Numerical Analysis of severe dust storms Iran East. *Journal title*, 3(4): 101-119
30. Khoddam, N., Irandejad, P., & Ahmadi-Givi, F., (2015). A study of the impact of Indian Monsoon on summer climate of Iran. *Iranian Journal of Geophysics*, 9(2), 52-66.
31. Maletsika, P.A., Nanos, G.D., & Stavroulakis, G.G., (2015). Peach leaf responses to soil and cement dust pollution. *Journal of Environmental Science and Pollution Research International*, 22: 15952–15960.
32. Mehrabi, S.H., Soltani, S., & Jafari, R. (2015). The study of the relationship between climatic parameters and the occurrence of fine dust (Case study: Khuzestan province). *Journal of Agricultural Science and Technology and Natural Resources, Soil and Water Sciences*, 19(71): 69-80.
33. Miri, A., Piri, H., Shafiqhi, N., & Bakhtiari Nasab, M. (2019). The effect of Sistan monsoon winds on the microbial contamination of traditional cheese offered in Zabol, 1st National Conference on dust with a Health-Focused Approach, Zabol University of Medical Sciences, 4 february.
34. Miri, A., Maleki, S., & Middleton, N. (2021). An investigation into climatic and terrestrial drivers of dust storms in the Sistan region of Iran in the early twenty-first century. *Science of the Total Environment*, 757, 143952.
35. Mirmousavi, S.H., (2016). Study of the role of wind in creating glacial climatic hazards Case study of Hamadan meteorological station. International Conference on Researches in Science & Engineering, Turkey, Istanbul University, 28 July.
36. Rahi Zehi, H., Khosravi, M., & Hamidian Pour, M., (2019). *International Conference on Dust in Southwest*. Zabol: Zabol University, 23 April.
37. Razavizadeh, S., Abbasi, H., & Dargahian, F. (2021). Investigation of Dust Phenomenon in Golestan Province, with Emphasis on Aerosol Optical Depth Index and Wind Direction and Speed. *Jwmseir*, 15(53): 58-67
38. Rodopoulou, S., Chalbot, M.C., Samoli, E., DuBois, D.W., San Filippo, B.D., & Kavouras, I.G. (2014). Air pollution and hospital emergency room and admissions for cardiovascular and respiratory diseases in Doña Ana County, New Mexico. *Environmental research*, 129: 39-46.
39. Sabziparvar, A. A., Mir Mousavi, S. H., Karimpour, M., Doostkamian, M., Haghghi, E., Rousta, I., & Ghasemi, A. (2019). Harmonic analysis of the spatiotemporal pattern of thunderstorms in Iran (1961–2010). *Advances in Meteorology*, 2019, 1-14.
40. Selwam, A.M., & Joshi, R.R. (1995). Universal spectrum for inter annual variability in codas global air and sea-surface temperature. *International Journal Climatology*, 15, 613-623.
41. Shahbazi, T., Saiedi, M., Nosrati, I., & Jalali Honarmand, S.J. (2016). Evaluation the Effect of airborne dust on physiological characteristics and yield of different wheat varieties (*Triticum* sp.). *Journal of Plant Process and Function*, 5(15): 195-204.
42. Sharifi, R., & Abbasi, H.R., & Attapourfard, A. (2021). Evaluation of the phenomenon of dust and sand dunes based on effective factors and Lancaster index in Tehran province, *The fifth national conference on wind erosion and dust storms*, Yazd
43. Taei Samiromi, S., Moradi, H., Khadagholi, M., & Ahmadi, M., 2013. Study of factors affecting dust phenomenon in west of Iran. *Journal of Human & Environment*, 11(27), 1-10.
44. Wilks, D.S., 2006. *Statistical methods in the atmospheric sciences*. Cornell University.
45. Zhang, J., Xu, H., Lan, J., Ai, L., Sheng, E., Yan, D., Zhou, K., Yu, K., Song, Y., Zhang, S.H., & Torfsterin, A., 2020. Weakening Dust Storm Intensity in Arid Central Asia Due to Global Warming Over the Past 160 Years. *Journal of Front Earth Science*. 21 July 2020 <https://doi.org/10.3389/feart.2020.0028>

Investigating Dominant Fluctuations of Dust and Wind Speed in Hirmand Watershed

Fatemeh Dargahian,^{*1} Zahra Saeedifar,² Mohammadreza Pudineh³

Received: 15/06/2023

Accepted: 23/04/2024

Extended Abstract

Introduction

The southeastern region of Iran is faced with dust phenomenon, which is primarily caused by 120-day Sistan winds and topographic conditions. Moreover, considering the great influence of the winds on the occurrence of dust in the study area, fluctuations of wind speed and dust are of great importance. Therefore, this study sought to investigate and analyze the cycles governing dust and wind speed in Hirmand watershed.

As a climatic event, dust phenomenon may occur in all weather conditions. However, the phenomenon disturbs human activities and damages social infrastructures such as agriculture, transportation, and industries in arid and semi-arid regions.

Dust storms frequently occur in some parts of the world, especially the Middle East. However, the occurrence of successive dust storms has so increased in the region during the last decade that it is also observed in the cold and rainy months. In this regard, studies conducted on dust storms in Iran suggest that in addition to natural factors that create the mass of fine dust, environmental or human factors are also involved in the occurrence of such a phenomenon and its long-term stability and continuity.

Materials and methods: The current study set out to examine and analyze the cycles governing dust and wind speed in the Hirmand watershed. To this end, the required data concerning wind speed and dust data were collected from 2000 to 2018 (18-year period) from seven synoptic stations located within the Hirmand watershed, including Zabol, Zahak Hamon, Nusratabad, Zahedan, Dermian, Deh Salam, Nehbandan, and Birjand stations, using the information published by the National Meteorological Organization (Figure 1). After extraction and quality control of the data, the code of phenomena related to dust has been used to extract the dust. After preparing the annual wind speed and dust data, spectral analysis has been used to analyze the cycles.

Results: Fluctuations (cycle), probability, and variance of dust were calculated for Hirmand watershed stations. The high variance indicates the importance of the dominant fluctuation of the cycle. In Birjand station, the time series of dust showed two short-term cycles of two and six years, and the probability of the occurred cycles were 0.2 and 0.5, respectively. Therefore, as the variance of the two-year cycle was found to be higher, it could be said that the cycle in the dust time series of Birjand station is very important.

However, only one dominant cycle of two years was observed in Nehbandan station, whose occurrence probability was reported to be 0.5. Moreover, the variance of the two-year cycle in Nehbandan station was 529, indicating the significance of the cycle in the time series of Nehbandan dust.

As for the Zabol and Zahak stations (located in eastern half of Hirmand watershed), the dust was found to have six and two-year fluctuations. On the other hand, an 18-year cycle was observed in the dust time series of Nusrat Abad station. Moreover, the examination of wind speed fluctuations in Hirmand watershed stations revealed that wind speed was also dominated by short-term fluctuations (just like what was found for the dust). However, various cycles of six and eleven years were observed in some stations. For instance, an eleven-year cycle was found to have prevailed in the drainage station. Therefore, it can be argued that the fluctuations governing dust and wind speed are similar, indicating the relationship between these two parameters in the southeast region of Iran.

Conclusion: Sistan basin is known as one of the most active sources of dust and windy desert environments in the world. Although dust activity in Sistan reaches its maximum during summer, the region may be hit by rare severe dust storms in winter. Many studies conducted on precipitation have already used spectral analysis method and the extraction of ruling cycles. However, the technique has not been used in the study of dust and wind.

The analysis of dust cycles showed that the major fluctuations governing the dusts of the Hirmand watershed occur in a short-term (two to four years). Moreover, the status of cycles governing wind speed revealed that short-term fluctuations of two to four years prevailed in most stations (the same as what occurred for the dust). Therefore, the fluctuations governing these two parameters in Hirmand watershed vary from two to four years. A similarity is also observed in the dominant cycles of wind speed and dust, indicating the fact that the dominant cycles of this part of Iran are the same under the influence of the macro-scale oceanic atmospheric system.

Keywords: Dust, Wind Speed, Fluctuations, Dominant Cycle.

1. Associate Professor, Research Institute of Forests and Rangelands, Agricultural Research, Education and Extension Organization (AREEO), Tehran, Iran; dargahian@rifr.ac.ir

2. PhD of Desertification, Desert Research Institute of Forests and Rangelands, Agricultural Research, Education and Extension Organization (AREEO), Tehran, Iran

3. Assistant Professor of Geography, University of Sistan and Baluchestan, Iran

DOI: 10.22052/DEEJ.2024.252996.1013